

[文章编号] 1004- 0609(2001)02- 0236- 04

机械合金化对 Mg₂Ni 相形成的影响^①

王仲民, 曾美琴, 杨永强, 李伯林, 朱 敏

(华南理工大学 机电工程系, 广州 510640)

[摘要] 用两步法(即由机械合金化和压制烧结两个步骤组成)制备了 Mg₂Ni 合金。实验证明: 混合粉经机械合金化后, 晶粒细化, 增加了固态扩散的能力, 有利于固相反应进行, 使 Mg₂Ni 产率明显提高。不同温度烧结处理的结果表明: 烧结温度是影响 Mg₂Ni 相形成的重要因素, 烧结温度达到 843 K, Mg-Ni 粉基本能完全转变为 Mg₂Ni 相。

[关键词] Mg₂Ni 合金; 机械合金化; 烧结处理

[中图分类号] TG 146

[文献标识码] A

镁系储氢材料因其高的储氢量、资源丰富、低成本等优点, 近年来成为储氢合金研究领域的热点^[1, 2]。如从理论储氢量比较, 纯镁的理论储氢量(质量分数)为 7.6%, Mg₂Ni 的储氢量为 3.6%。而稀土系的 LaNi₅ 的储氢量仅有 1.5%, 钇系的 ZrMn₂ 和钛系的 TiFe 的储氢量分别是 1.7% 和 2.0%^[3]。在镁系储氢合金研究方面, 由于纯镁的氢化物过于稳定、吸放氢性能差, 因而人们把注意力集中在吸放氢性能优于纯镁的 Mg₂Ni 基合金。

由于镁的熔点(932 K)与 Ni 的熔点相差太大, 而 Mg 的蒸气压又很高, 采用常规冶金工艺制备镁基合金相当困难, 因此可用置换扩散法(replacement diffusion method (RDM))来制备^[4]。根据 Dalin 报道^[5], Mg-Ni 混合粉按 Mg₂Ni 原子计量比混合, 在 773 K 的温度下充氩烧结 15 h, 形成的 Mg₂Ni 在 76% 左右, 其余为 Mg, MgNi₂ 相, 且其制备过程不易控制。相比之下, 机械合金化法通过镁、镍粉的固态扩散反应形成 Mg₂Ni, 制备过程易于操作, 目前镁基储氢合金制备多采用此法。如 Huot 等^[6]利用星式球磨机, 将镁粉、镍粉按比 2:1 进行混合球磨, 在球磨时 22 h 开始形成 Mg₂Ni 相; Aymard^[7]在低能振动球磨条件下混磨镁粉、镍粉, 经 250 h 后 Mg₂Ni 形成; 而 Nam 等人^[4]利用星式球磨机、球料比 15:1、转速 100 r/min、经 120 h 制得纳米 Mg₂Ni 储氢合金。但是用 MA 制备 Mg₂Ni 基合金通常需要很长的球磨时间, 这样一方面效率较低, 另一方面容易引入氧和铁的污染。Man 等^[8]

对 Ni-Al 系的研究证实, 在烧结前进行短时间的机械合金化, 能够显著地促进烧结过程中 Ni-Al 化合物的形成。为此, 本文作者研究了烧结前进行机械合金化对烧结形成 Mg₂Ni 相的影响。

1 实验

将纯度为 99.8%、粒度为 200 目(< 74 μm)的 Mg 粉和纯度为 99.9%、粒度为 200 目(< 74 μm)的 Ni 粉按 Mg₂Ni 原子计量比混合后进行球磨, 球料比为 10:1, 球磨过程在氩气保护下进行, 所用球磨机为 QM-1SP 行星式球磨机, 转速为 250 r/min。球磨不同时间后将粉取出, 压制成块状样进行烧结处理, 烧结处理分真空烧结和充氩气保护烧结两种方法: 真空烧结时, 真空度为 5 × 10⁻³ ~ 7 × 10⁻³ Pa, 烧结温度为 623 K, 保温 4 h 后随炉冷却; 充氩烧结处理时, 氩气压 0.2 MPa, 843 K 时保温 4 h 后随炉冷却。用 X 射线衍射仪和金相显微镜进行组织结构分析, 所用衍射仪为 Rigaku D/MAX-RC, 采用 Cu 钨 K_a 辐射; 所用显微镜为 OLYMPUS-PME3。

2 结果

图 1 所示为镁粉、镍粉按 Mg₂Ni 原子计量比混合后球磨不同时间的 X 射线衍射图。由图可见, 随球磨时间的增加, 镁和镍的衍射峰逐渐下降, 衍射峰有宽化现象, 表明其晶粒随球磨时间增加而逐渐

^① [基金项目] 国家自然科学基金资助项目(59925102)

[收稿日期] 2000-05-19; [修订日期] 2000-09-13

[作者简介] 王仲民(1970-), 男, 博士研究生。

细化, 内应力也逐渐增大; 球磨到 40 h 时, 其衍射峰宽化明显, 且有 Mg_2Ni 相形成, 而镁的衍射峰消失, 原因可能是镁比较软, 在球磨过程中变形比较大, 因而衍射峰宽化比较大, 被镍或 Mg_2Ni 的衍射峰以及背底散射所掩盖。延长球磨时间到 80 h 时, 镍的衍射峰仍有相当高的强度, 表明在该球磨条件下 Mg_2Ni 相形成缓慢, 混合粉中 Mg_2Ni 相含量低。

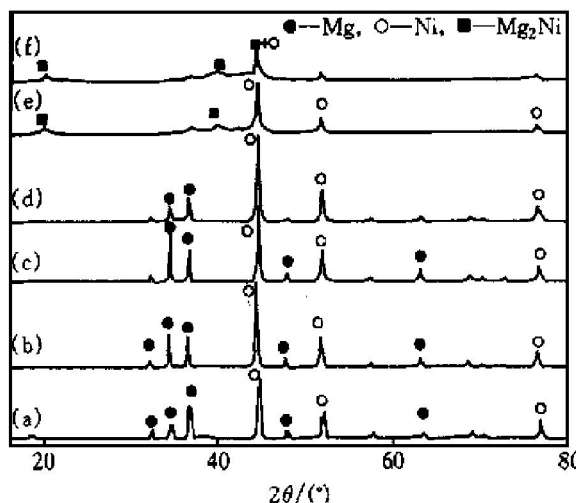


图 1 Mg 粉和 Ni 粉混合球磨不同时间的 X 射线衍射图

Fig. 1 X-ray diffractograms of Mg and Ni powder mixture after milling for different time
(a) -0 h; (b) -5 h; (c) -10 h;
(d) -20 h; (e) -40 h; (f) -80 h

为研究烧结过程及烧结前机械合金化对 Mg_2Ni 相形成的影响, 将不同时间球磨的混合粉压制后在不同的条件下进行烧结。图 2 所示为 Mg - Ni 混合粉球磨 2 h 和球磨 10 h 后真空烧结处理的 X 射线衍射图。两种烧结样同未经真空烧结处理的球磨粉相比, 烧结样的 Mg_2Ni 的衍射峰强度明显提高; 球磨 2 h 同球磨 10 h 的烧结样相比, 球磨 10 h 后烧结样品的 Mg_2Ni 相含量高, 说明机械合金化显著促进了 Mg 和 Ni 在烧结过程中的反应, 此外烧结后谱图峰形宽化现象消除, 表明烧结过程伴随着晶粒长大和内应力消失。烧结后的样品中有镁、镍相和 Mg_2Ni 相, 镍的衍射峰仍有相当高的强度, 说明反应仍不完全。因此, 有必要进一步提高烧结温度, 但是由于 Mg 的蒸气压较高(873 K 时, 蒸气压高达 0.0156 Pa), 在较高温度下真空烧结时, Mg 挥发严重, 引起合金成分变化。

充氩烧结处理时, 球磨粉仍压制块状样, 氩气气压维持在 0.2 MPa, 烧结温度提高到 843 K。经不同时间球磨后的粉末的烧结样品 X 射线衍射分析结果如图 3 所示。用未经球磨的混合粉直接压样烧结处理, 就有一定量的 Mg_2Ni 相形成, 但是反应

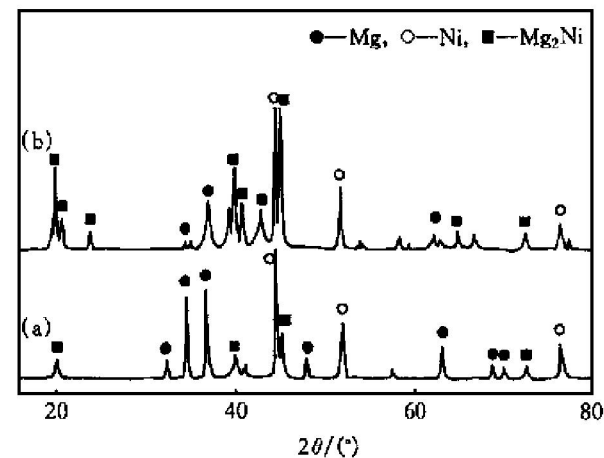


图 2 球磨不同时间的混合粉压块样在 623 K 真空烧结的 X 射线衍射图

Fig. 2 X-ray diffractograms of samples sintered under vacuum after milling for different time
(a) -2 h; (b) -10 h

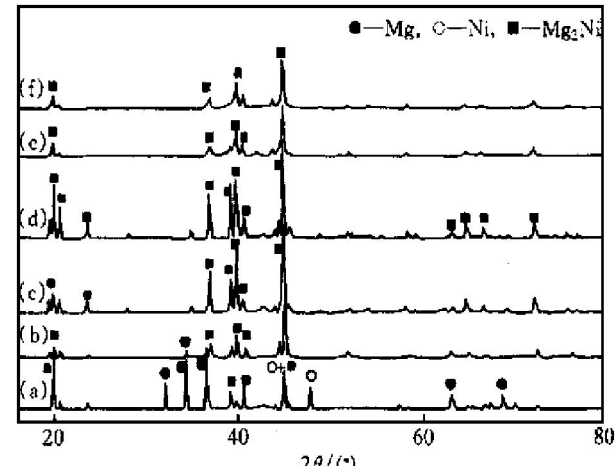


图 3 Mg 粉和 Ni 粉混合球磨不同时间充氩烧结 4 h 的 X 射线衍射图

Fig. 3 X-ray diffractograms of samples sintered at 843 K under argon after milling for different time
(a) -0 h; (b) -2 h; (c) -5 h; (d) -10 h;
(e) -40 h; (f) -40 h, holding temperature for 6 h

并不完全, 仍有部分镁、镍存在; 球磨 10 h 的烧结样的衍射谱中, Mg , Ni 的衍射峰完全消失, Mg_2Ni 的特征峰全部出现, 且强度高, 可认为基本是由单一的 Mg_2Ni 相构成, 证明该条件下反应完全。

3 讨论

3.1 机械合金化对 Mg_2Ni 相形成的影响

Mg - Ni 混合粉在烧结前进行机械合金化处理,

可使晶粒细化、比表面增大、界面密度增加。图4所示为球磨10 h的Mg-Ni混合粉的金相照片，混合粉由不规则的片状、棒状颗粒组成。由图4(b)可见，黑色部分为Mg相，呈散点状或片状随机分布在Mg相基体内的白色部分为Ni相。这是由于Mg比较软、易变形，在球磨过程中被挤压成片状，而Ni粉粘附在片状Mg相上，经反复撞击、变形，最后以散点状或片状的形态嵌入片状Mg相内。这种不规则分布和细化增大了两相的界面，即增加固相反应所需的固态扩散能力，有利于固相反应进行。据此分析，球磨时间延长可使晶粒细化、比界面和界面密度增加，有利于固相扩散反应进行。

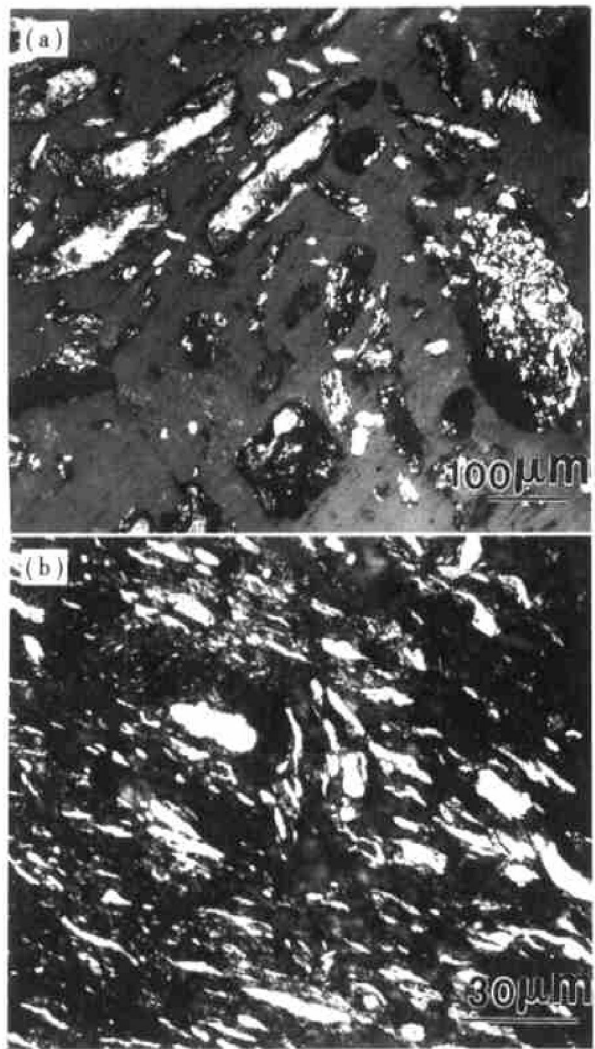


图4 Mg-Ni混合粉球磨10 h后的金相照片

Fig. 4 Optical micrograph of mixed powder of Mg and Ni after milling for 10 h

由图2, 图3可看出，在球磨0~10 h之间，随时间延长，烧结时所形成Mg₂Ni相增加；真空烧结和充氩烧结相比，前者的Mg₂Ni相含量因烧结温度低而明显低于后者。同时由图3也可看出，球磨10 h后烧结，Mg₂Ni相具有较强的衍射峰，而球磨40 h后的烧结样品同球磨10 h后的烧结样品相比，Mg₂Ni相的衍射峰的相对强度下降，Mg₂Ni相衍射

峰宽化明显，且球磨40 h后烧结得到的样品，氧化物含量明显增加(见图5)。进一步延长球磨40 h烧结样的保温时间至6 h，相应的X射线衍射谱图几乎没有变化。分析认为，Mg-Ni混合粉随球磨时间延长，在晶粒细化的同时，引入了微量氧，微量氧与Mg结合形成MgO呈弥散态分布于颗粒内。这种弥散状分布MgO相增强了X射线衍射时的背底，相应地，Mg₂Ni相的衍射峰相对强度减弱；再者，颗粒内呈弥散态分布的MgO相阻碍了烧结过程中Mg₂Ni相晶粒的长大，形成的Mg₂Ni相晶粒较细，在相应的X射线衍射谱图上，表现为Mg₂Ni相的衍射峰有一定程度的宽化。因此，球磨时间过长会加剧球磨过程中引入的污染。

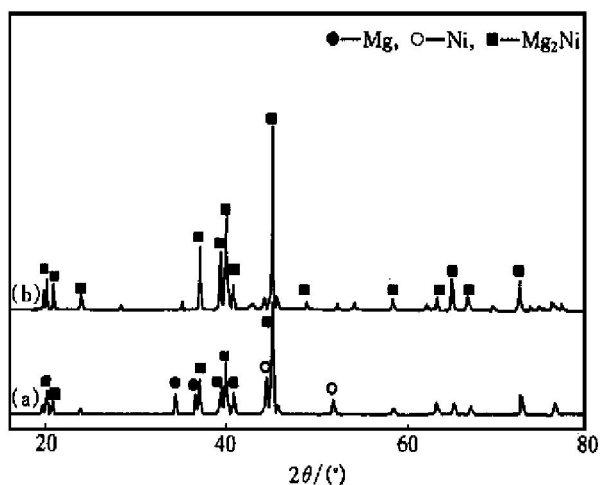


图5 球磨40 h在843 K充氩烧结样的X射线衍射图

Fig. 5 X-ray diffractograms of samples sintered at 843 K after milling for 40 h

3.2 烧结温度对Mg₂Ni相形成的影响

真空烧结因受温度因素的限制，在623 K温度下的烧结样存在一定量的Mg，而Ni和Mg₂Ni相产率不高。图6所示为充氩条件下烧结样品的X射线衍射图。由图可看出，在743 K温度下的烧结样仍有少量的Mg, Ni存在，在843 K下的烧结样由单一的Mg₂Ni相构成，表明烧结温度影响烧结过程中Mg₂Ni相的形成。

4 结论

1) 机械合金化可使Mg和Ni混合粉的晶粒细化、Mg/Ni界面密度显著增加，促进了Mg-Ni间固相扩散反应，有利于Mg₂Ni相形成。

2) 烧结温度是影响烧结处理时Mg₂Ni相形成的关键因素之一，高的烧结温度有利于固相扩散反

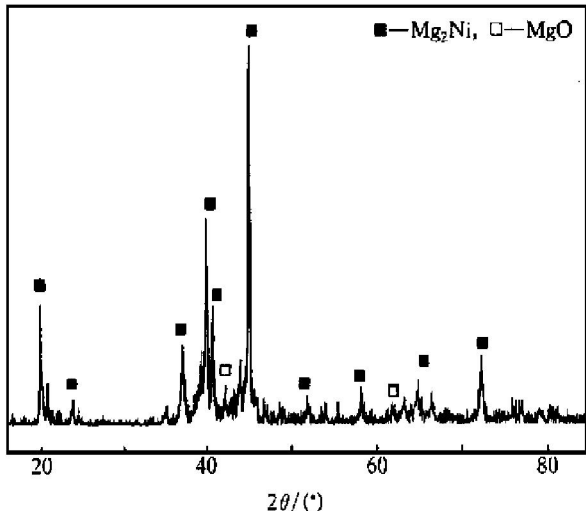


图 6 球磨 10 h 后在不同温度下充氩烧结样的 X 射线衍射图

Fig. 6 X-ray diffractograms of samples sintered at (a) 743 K and (b) 843 K respectively after milling for 10 h

应的进行。

3) Mg 和 Ni 粉混磨 10h 左右后压制成块状样, 在 843 K、充氩(氩气压为 0.2 MPa), 恒温 4 h 后随炉冷却, 是较佳的 Mg_2Ni 制备工艺。

[REFERENCES]

[1] Zhu M, Zhu W H and Chung C Y. Microstructure and hydrogen absorption properties of nano-phase composite

prepared by mechanical alloying of $MmNi_{5-x}(CoAlMn)_x$ and Mg [J]. J Alloys and Compounds, 1999, 293– 295: 531– 545.

- [2] ZHU Wen-hui(朱文辉), ZHU Min(朱敏), LUO Kan-chang(罗堪昌), et al. 高能球磨在 $MmNi_{5-x}(Co, Al, Mn)_x/Mg$ 体系中诱导的固态反应及纳米相复合储氢合金的形成 [J]. Acta Metallurgica Sinica(金属学报), 1999, 35(5): 541– 545.
- [3] WANG Zhong-min(王仲民), PENG Cheng-hong(彭成红), CHE Xiao-zhou(车晓舟), et al. Mg_2Ni 系储氢合金的电极性能研究进展 [J]. Battery(电池), 2000, 30(6): 266– 268.
- [4] Nam H G, Jung H W and Kyung S L. Mechanism of rapid degradation of nanostructured Mg_2Ni hydrogen storage alloy electrode synthesized by mechanical alloying and the effect of mechanically coating with nickel [J]. J Alloys and Compounds, 1999, 288: 286– 293.
- [5] SUN Da-lin and Enoki H. New approach for synthesizing Mg -based alloys [J]. J Alloys and Compounds, 1999, 285: 279– 283.
- [6] Zaluski L and Zaluska A. Hydrogen absorption in nanocrystalline Mg_2Ni formed by MA [J]. J Alloys and Compounds, 1995, 217: 245– 249.
- [7] Aymard L and Ichitsubo M. Preparation of Mg_2Ni based by the combination of mechanical alloying and heat treatment at low temperature [J]. J Alloys and Compounds, 1997, 259: L5– L8.
- [8] Man C H, Zhu M and Chung C Y. Effect of mechanical alloying on the solid state reaction process of Ni-36.5at% Al alloy [J]. Intermetallics, (to be published).

Effect of mechanical alloying on formation of Mg_2Ni

WANG Zhong-min, ZENG Mei-qing, YANG Yong-qiang, LI Bo-lin, ZHU Min
(Department of Mechano-Electronic Engineering, South China University of Technology,
Guangzhou 510640, P. R. China)

[Abstract] Mg_2Ni alloy was prepared using a two-step process which includes mechanical alloying(MA) and sintering. It is found that the particles of mixed powder of Mg and Ni are fragmented; the grain size of Mg and Ni is greatly reduced and the density of Mg/Ni interface increases by MA; the refining of microstructure enhances the solid-diffusion reaction in sintering and results in the increasing of the ratio of Mg_2Ni formed. The results of sintering under different temperatures indicate that the formation of Mg_2Ni phase is obviously enhanced with the increasing of temperature, the highest ratio of Mg_2Ni forming is reached at 843 K.

[Key words] Mg_2Ni alloy; mechanical alloying; sintering

(编辑 何学锋)